

УТИЦАЈ ПАРАМЕТАРА МЛЕВЕЊА НА ОДНОС АМОРФНЕ И КРИСТАЛНЕ ФАЗЕ У ЈЕЛИЊЕЊУ РИТО

View metadata, citation and similar papers at core.ac.uk

brought to you by  CORE

карановић

Институт техничких наука САНУ, Београд, *Институт за мултидисциплинарна истраживања, Београд, **Технолошки металуршки факултет, Београд, ***Рударско азоташки факултет, Београд

УВОД

Механохемијски третман је поступак млевења прахова у различитим типовима млинова ("механохемијским реакторима") при чему долази до низа физико-хемијских промена материјала. Карактеристично за све испитиване системе је образовање веома неуредење структуре: нанокристалне или аморфне.

НАМЕРА И ЦИЉ ОВОГ РАДА

•Квантитативно испитивање зависности интензитета млевења од радних параметара млевења, тј. брзине обртања млина, величине и броја куглица.

•Утицај параметара млевења на процес аморфизације/кристализације материјала подвргнутог млевењу.

ЕКСПЕРИМЕНТ

Почетни добро искрсталисани прах $\text{Bi}_4\text{Ti}_3\text{O}_{12}$ (маса праха: 22 g) механохемијски је третиран у планетарном млину Fritsch Pulverisette 5 са две челичне посуде запремине 500 cm³. Једна посуђе је била напуњена куглицама пречника 13 mm, док је друга – куглицама пречника 6 mm, при чему је маса куглица, тј. масени однос увећан био једнак у обе посуде (табела 1). Интензитет млевења у зависности од углона брзине млина (мерена тахометром) и броја куглица (табела 1, слика 1) квантитативно је одређивањем мерљем електричне снаге мотора који покреће осовину планетарног млина, према процедуре описаној у литератури [A. Iasonna, M. Magini, Power Measurements During Mechanical Milling. An Experimental Way to Investigate the Energy Transfer Phenomena, *Acta Materialia* 44 (1996) 1109-1117.]

Структурне промене пражене су рентгенском структурном анализом; удео аморфне фазе је одређиван методом фитовања облика пиковака [M. Zdručík, D. Poletti, Č. Jovalekić, Lj. Karanović, *The Evolution of Structure Induced by Intensive Milling in the System 2Bi2O3·3TiO2*, *Journal of Non-Crystalline Solids* 352 (2006) 3058-3065.]

РЕЗУЛТАТИ

Електрична снага за дату брзину планетарног млина зависи од броја куглица, тј. од фактора пуњења дефинисаног као однос коришћеног броја куглица и максималног броја куглица које могу да стапу у посуду. Максимална предата снага добија се за фактор пуњења од око 0,4, док за веће вредности, снага опада (слика 2).

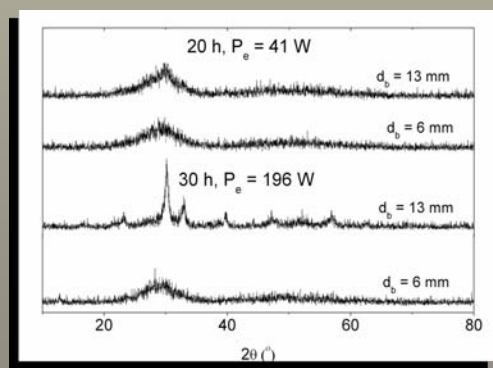
Механохемијски третман доводи до фазног прелаза кристално/аморфно, који је одређен енергијом и фреквенцијом удара куглица. Слика 1 приказује промене удела аморфне фазе за два праха $\text{Bi}_4\text{Ti}_3\text{O}_{12}$ који су млевени истовремено са различитим величинама куглица, док су остали параметри (масени однос и угасна брзина) били идентични. Са слике се види да прах млевен са већим кугличама реагује на промене интензитета млевења (брзо обртаја) док други прах (млевен са кугличама пречника 6 mm), након потпуне аморфизације, достигнуте после 20 h млевења остаје непромењен (фреквенциијама прахова млевених 20 и 30 h дати су на слици 4). Према томе, испод одређеног прага енергије удара не долази до процеса кристализације, док, истовремено, већа фреквенција удара доводи до убрзања процеса аморфизације (почетни период до 20 h).

ЗАКЉУЧАК

На основу добијених резултата, закључено је да су механохемијске реакције, бар у случају $\text{Bi}_4\text{Ti}_3\text{O}_{12}$, доминантно дискретни процеси који се дешавају у тренутку удара куглице у прах.

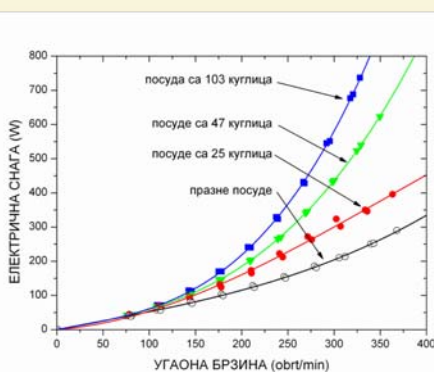
Табела 1. Зависност удела аморфне фазе у $\text{Bi}_4\text{Ti}_3\text{O}_{12}$ једињењу од времена млевења за дате параметре млевења (t – време млевења; f_{am} – удео аморфне фазе; d_b – пречник куглице; n_b – број куглица; P_e – електрична снага; $\langle v \rangle$ – средња брзина куглице; $\langle E \rangle$ – средња енергија удара; f_{cal} – израчуната фреквенција удара)

t (h)	f_{am} (%)	ω_p (rpm)	n_b	P_e (W)	$\langle v \rangle$ (m s ⁻¹)	$\langle E \rangle$ (10 ³ J)	f_{cal} (s ⁻¹)				
10	13 mm	6 mm	13.4 mm	500	41	2.26	24	2.23	555	5907	
20	84.5	100	210	47	500	41	2.26	24	2.23	555	5907
23	29	100	362	47	500	196	3.80	67	6.32	955	10153
26	29.3	100	362	47	500	196	3.80	67	6.32	955	10153
30	26.9	100	362	47	500	196	3.80	67	6.32	955	10153
35	57.6	100	136	47	500	12	1.51	11	0.99	361	3840
40	73.9	100	136	47	500	12	1.51	11	0.99	361	3840
40.25	69.2	100	327	100	1186	245	3.18	47	4.11	863	21787
40.75	56.7	100	327	100	1186	245	3.18	47	4.11	863	21787
41.75	57.3	100	327	100	1186	245	3.18	47	4.11	863	21787
42.75	59.2	100	327	100	500	245	3.18	47	4.11	863	21787
47.75	74.5	100	130	100	500	11	1.12	5.7	0.5	734	8699
53.75	76.8	100	131	~220	~2471	1	0.04	–	–	–	–

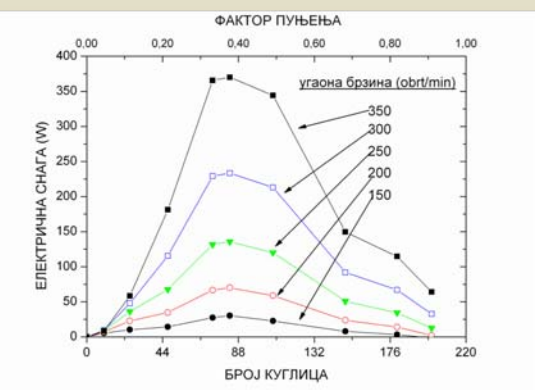


Слика 4. Рентгенограми $\text{Bi}_4\text{Ti}_3\text{O}_{12}$ праха млевеног 20 h са интензитетом млевења, $P = 41 \text{ W}$, а затим 10 h са интензитетом млевења, $P = 196 \text{ W}$, са кугличама пречника 13 и 6 mm.

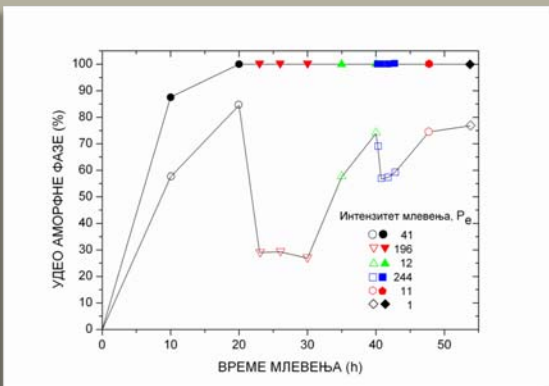
provided by Digital Repository of the Institute of Technical Sciences of SASA



Слика 1. Електрична снага планетарног млина, P_e у зависности од угасна брзина за две посуде са прахом (○) и напуњене са 25 (●), 47 (△), и 103 (■) куглица пречника 13 mm.



Слика 2. Нето електрична снага за једну посуђу, P_e у зависности од броја куглица пречника 13 mm, за угасне брзине 150, 200, 250, 300 и 350 obrt/min.



Слика 3. Удео аморфне фазе у $\text{Bi}_4\text{Ti}_3\text{O}_{12}$ праху млевеном са кугличама пречника 13 mm (празни симболи) и 6 mm (пуни симболи) са различитим интензитетима млевења, P_e у зависности од времена млевења.